

УДК 621.318.001.2

© 2008

Член-корреспондент НАН України А. Е. Божко

Об особой формуле среднего значения тока в электроцепи с управляемыми диодами и индуктивной нагрузкой

A new formula for the mean value of current in the electric circuit with controlled diodes and an inductive load is deduced with the use of a singular expansion of a jump-like function.

Во многих электротехнических цепях постоянного и переменного токов с индуктивной нагрузкой применяются управляемые диоды (тиристоры, симисторы) [1–3]. Включаются эти диоды устройствами управления по углу открывания диодов, закрывание осуществляется либо уменьшением тока в полуволне его протекания до нуля, либо изменением полярности напряжения цепи. Графическое изображение управляемого тока в цепи с тиристорами представлено на рис. 1, где a — напряжение на нагрузке в цепи переменного тока; b — напряжение на нагрузке в цепи постоянного тока с двухполупериодным выпрямлением; φ — угол открывания тиристора.

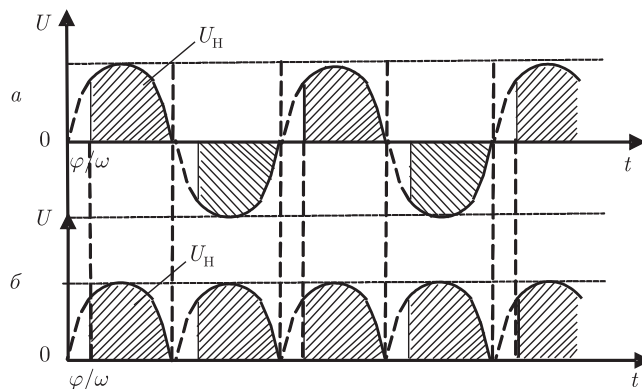


Рис. 1

Среднее значение тока, соответствующего формату тока, изображенного на рис. 1, при активном сопротивлении нагрузки R_H определяется выражением [4]

$$I_{ср\varphi} = \frac{2}{T} \int_{\varphi/\omega}^{T/2} I_m \sin(\omega t \pm \varphi) dt = \frac{-2I_m}{T\omega} [\cos(\omega t \pm \varphi)]_{\varphi/\omega}^{T/2} =$$

$$= \frac{-2I_m}{T\omega} [\cos \omega t \cos(-\varphi) \mp \sin \omega t \sin(-\varphi)]_{-\varphi/\omega}^{T/2} = \frac{I_m}{\pi} (1 + \cos \varphi), \quad (1)$$

где I_m — амплитуда тока; ω — круговая частота ($\omega = 2\pi f$, f — частота, Гц; $T = 2\pi/\omega = 1/f$ — период изменения тока $i(t)$).

Как видно из рис. 1, ток $i(t)$ в цепи появляется в виде импульсов (это при активной нагрузке R_H резистора), при индуктивной нагрузке (L), особенно, если постоянная времени цепи $\tau = L/R$ мала. После каждого такого импульса в цепи происходит переходный процесс, и в этом случае мгновенное и среднее значения тока $i(t)$, $I_{ср}$ изменяются по сравнению с $i(t)$ при активной нагрузке (1). Следует отметить, что при открывании тиристорov к нагрузке цепи (z_H) прикладывается напряжение $U(t)$ такого же вида, как показано на рис. 1. Передний фронт каждого импульса напряжения есть скачкообразная функция $1(t)U_m(\pm \sin \varphi)$ — для цепи переменного тока и $1(t)U_m \sin \varphi$ — для цепи выпрямленного переменного тока. Согласно работам [5, 6], скачкообразные функции $1(t)$ могут быть представлены в виде особых (сингулярисных) разложений вида

$$E1(t) = E(1 - e^{-\alpha t}) + e^{-\alpha t} E \sum_{k=1}^n U_{mk} \cos \omega_k t, \quad (2)$$

$$U(t)1(t) = 1(t)U_m \sin(\omega t \pm \varphi) = U_m e^{-\alpha t} \sin(\pm \varphi) + U_m(1 - e^{-\alpha t}) \sin(\omega t \pm \varphi) +$$

$$+ |U_m| e^{-\alpha t} \sum_{k=1}^n U_{mk} \sin \omega_k t, \quad (3)$$

где $\sum_{k=1}^n U_{mk} = 1$; $U_{m1} = 1/\pi$; $U_{mk} = U_{m1}/k$; $k = \omega_k/\omega_1$; α — коэффициент затухания.

Разложение (2) относится к цепям с постоянным входным напряжением, а разложение (3) — к входным напряжениям цепей переменного тока при обязательном условии, что $|\pm \varphi| > 0$. При $\varphi = 0$ $U(t) = U_m \sin \omega t$ и указанное разложение (3) отсутствует.

Заметим, что в нашем случае как для цепи выпрямленного переменного тока, так и для цепи переменного тока, применимо разложение (3). Вследствие того, что при каждом импульсе напряжения на нагрузке (z_H) начинается переходный процесс в цепи, можно считать, что момент открывания тиристора (угол φ) является начальным для переходного процесса тока ($t = 0$). Тогда график одного импульса напряжения $U_{нагр}$ представим на рис. 2, откуда видно, что при $t = 0$ $U = U_m \sin \varphi$.

К таким импульсам напряжения на нагрузке в электроцепи переменного тока применимо сингулярисное разложение вида (3). Проверим правильность такого разложения. При $t = 0$ $U(0) = U_m \sin \varphi$, при $t = \infty$ $U(t) = U_m \sin(\omega t + \varphi)$, при $\alpha = \infty$ (исключение $1(t)$) $U(t) = U_m \sin(\omega t + \varphi)$. То есть представленное разложение при данных условиях соответствует классическому представлению $U(t) = U_m \sin(\omega t + \varphi)$. Для дальнейшего вывода

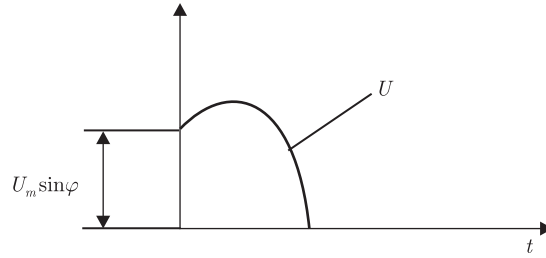


Рис. 2

формулы среднего значения тока $i(t)$ будем считать, что цепь с последовательным соединением резистора R и индуктивности L является линейной. Методика вывода формулы $I_{\text{ср}}$ следующая: вначале определяется $i(t)$ с учетом переходных процессов, а затем

$$I_{\text{ср}} = \frac{2}{T} \int_{\varphi/\omega}^{T/2} i(t) dt. \quad (4)$$

Дифференциальное уравнение рассматриваемой электроцепи с учетом (3) имеет вид

$$U_m \ell^{-\alpha t} \sin \varphi + U_m (1 - \ell^{-\alpha t}) \sin(\omega t + \varphi) + |U_m| \ell^{-\alpha t} \sum_{k=1}^n U_{mk} \sin \omega_k t = Ri + L \frac{di}{dt}. \quad (5)$$

Применяя далее к линейной цепи RL принцип суперпозиции [4], получим выражение тока $i(t)$ в виде

$$i = i_0 + i_1 + \sum_{k=2}^n i_k. \quad (6)$$

В соответствии с (6) уравнение (5) представим суммой уравнений

$$U_m \ell^{-\alpha t} \sin \varphi = Ri_0 + L \frac{di_0}{dt}, \quad (7)$$

$$U_m (1 - \ell^{-\alpha t}) \sin(\omega t + \varphi) = Ri_1 + L \frac{di_1}{dt}, \quad (8)$$

$$|U_m| \ell^{-\alpha t} \sin \varphi \sum_{k=1}^n U_{mk} \sin \omega_k t = \sum_{k=2}^n \left(Ri_k + L \frac{di_k}{dt} \right). \quad (9)$$

Уравнения (7)–(9) решаем операторным методом с помощью преобразований Карсона [7], т. е. точно так, как представлено в работе [6]. Отличием является формула для тока $i_1(t)$. Поэтому на основании [6] запишем здесь оригиналы токов $i_0(t)$, $i_k(t)$, $k = \overline{2, n}$, в виде

$$i_0(t) = \frac{U_m \sin \varphi}{L} \frac{(e^{-\delta t} - e^{-\alpha t})}{\alpha - \delta}, \quad (10)$$

где $\delta = R/L$ — коэффициент затухания RL цепи;

$$i_k(t) = \frac{|U_m| U_{mk} \omega_k}{L[(\alpha - \delta)^2 + \omega_k^2]} \left\{ \ell^{-\delta t} + \frac{\ell^{-\alpha t}}{\omega_k} [(\delta - \alpha) \sin \omega_k t - \omega_k \cos \omega_k t] \right\}. \quad (11)$$

Заметим, что при $t = 0$ и $t = \infty$ $i_0 = i_k = 0$. При $\alpha = \infty$ $i_0 = i_k = 0$.

Уравнение (8) в изображениях Карсона имеет вид

$$U_m \left[\frac{p^2 \sin \varphi + \omega_p \cos \varphi}{p^2 + \omega^2} - \frac{p(p + \alpha) \sin \varphi + \omega_p \cos \varphi}{(p + \alpha)^2 + \omega^2} \right] = i_1(p)L(\delta + p),$$

откуда

$$i_1(p) = \frac{U_m}{L} \left\{ \frac{p^2 \sin \varphi + \omega_p \cos \varphi}{(\delta + p)(p^2 + \omega^2)} - \frac{p(p + \alpha) \sin \varphi + \omega_p \cos \varphi}{(\delta + p)[(p + \alpha)^2 + \omega^2]} \right\}. \quad (12)$$

Из (12) видно, что $i_1(p)$ имеет четыре составляющих:

$$i_{11}(p) = \frac{U_m}{L} \left[\frac{p^2 \sin \varphi}{(\delta + p)(p^2 + \omega^2)} \right], \quad i_{12}(p) = \frac{U_m}{L} \left[\frac{\omega_p \cos \varphi}{(\delta + p)(p^2 + \omega^2)} \right],$$

$$i_{13}(p) = -\frac{U_m}{L} \left\{ \frac{p(p + \alpha) \sin \varphi}{(\delta + p)[(p + \alpha)^2 + \omega^2]} \right\}, \quad i_{14}(p) = -\frac{U_m}{L} \left\{ \frac{\omega_p \cos \varphi}{(\delta + p)[(p + \alpha)^2 + \omega^2]} \right\}.$$

Определим оригиналы этих изображений по таблицам [7]

$$i_{11}(t) = \frac{U_m}{L} \sin \varphi \left[\frac{1}{\delta^2 + \omega^2} (\delta \cos \omega t + \omega \sin \omega t - \delta \ell^{-\delta t}) \right], \quad (13)$$

$$i_{12}(t) = \frac{U_m \omega \cos \varphi}{L} \left[\frac{1}{\delta^2 + \omega^2} \left(\ell^{-\delta t} + \frac{\delta}{\omega} \sin \omega t - \cos \omega t \right) \right], \quad (14)$$

$$i_{13}(t) = -\frac{U_m \cos \varphi}{L} \left\langle \frac{1}{(\alpha - \delta)^2 + \omega^2} \left\{ -\delta \ell^{-\delta t} + \frac{\ell^{-\alpha t}}{\omega} [\omega \delta \cos \omega t + (\omega^2 + \alpha^2 + \alpha \delta \sin \omega)] \right\} + \right.$$

$$\left. + \frac{\alpha}{(\alpha - \delta)^2 \omega^2} \left\{ \ell^{-\delta t} + \frac{\ell^{-\alpha t}}{\omega} [-\omega \cos \omega t + (\delta - \alpha) \sin \omega t] \right\} \right\rangle, \quad (15)$$

$$i_{14}(p) = -\frac{U_m \omega \cos \varphi}{L} \frac{1}{(\alpha - \delta)^2 + \omega^2} \left\{ \ell^{-\delta t} + \frac{\ell^{-\alpha t}}{\omega} [-\omega \cos \omega t + (\delta - \alpha) \sin \omega t] \right\}. \quad (16)$$

Итак,

$$i_1(t) = (13) + (14) + (15) + (16). \quad (17)$$

При $t = 0$ $i_{11} = i_{12} = i_{13} = i_{14} = 0$, при $\alpha = \infty$ $i_{13} = i_{14} = 0$, при $t = \infty$ $i_1(t) = I_a \sin(\omega t + \Psi)$, где $I_a = (U_m / (L(\delta^2 + \omega^2))) \sqrt{A^2 + B^2}$, $A = \omega \sin \varphi + \delta \cos \varphi$, $B = \omega \cos \varphi - \delta \sin \varphi$, $\Psi = \arctg B/A$ [8].

Перейдем к определению средних значений токов i_0 , i_1 , $\sum_{k=2}^n i_k$ по формуле (4) с учетом (10), (11), (17)

$$I_{ср0} = \frac{2}{T} \int_{\varphi/\omega}^{T/2} i_0(t) dt = \frac{U_m \omega \sin \varphi}{\pi} \left[\frac{1}{\delta} (\ell^{-\delta \varphi/\omega} - \ell^{-\delta \pi/\omega}) + \frac{1}{\alpha} (\ell^{-\alpha \varphi/\omega} - \ell^{-\alpha \pi/\omega}) \right], \quad (18)$$

$$\begin{aligned}
I_{cp11} &= \frac{2}{T} \int_{+\varphi/\omega}^{T/2} \frac{U_m \sin \varphi}{L} \left[\frac{1}{\delta^2 + \omega^2} (\delta \cos \omega t + \omega \sin \omega t - \delta \ell^{-\delta t}) \right] dt = \\
&= \frac{U_m \omega s \sin \varphi}{\pi L (\delta^2 + \omega^2)} \left(1 - \frac{\delta}{\omega} \sin \frac{\varphi}{\omega} + \cos \frac{\varphi}{\omega} + \ell^{-\delta \pi / \omega} - \ell^{-\delta \varphi / \omega} \right), \tag{19}
\end{aligned}$$

$$\begin{aligned}
I_{cp12} &= \frac{2}{T} \int_{+\varphi/\omega}^{T/2} \frac{U_m \omega \sin \varphi}{L (\delta^2 + \omega^2)} \left(\ell^{-\delta t} + \frac{\delta}{\omega} \sin \omega t - \cos \omega t \right) dt = \\
&= \frac{U_m \omega s^2 \sin \varphi}{\pi L (\delta^2 + \omega^2)} \left\{ \delta \left[\ell^{-\delta \varphi / \omega} - \ell^{-\delta \pi / \omega} + \frac{1}{\omega^2} \left(1 + \cos \frac{\varphi}{\omega} \right) - \frac{1}{\omega} \sin \frac{\varphi}{\omega} \right] \right\}, \tag{20}
\end{aligned}$$

$$\begin{aligned}
I_{cp13} &= -\frac{2U_m \sin \varphi}{TL [(\alpha - \delta)^2 + \omega^2]} \left[(\alpha - \delta) \int_{+\varphi/\omega}^{T/2} \ell^{-\delta t} dt - \omega \int_{+\varphi/\omega}^{T/2} \ell^{-\alpha t} \sin \omega t dt + \right. \\
&\quad \left. + (\alpha - \delta) \int_{+\varphi/\omega}^{T/2} \ell^{-\alpha t} \cos \omega t dt \right]. \tag{21}
\end{aligned}$$

Для сокращения записи (21) представим в виде

$$I_{cp13} = a \int_{+\varphi/\omega}^{T/2} \ell^{-\delta t} dt + b \int_{+\varphi/\omega}^{T/2} \ell^{-\alpha t} \sin \omega t dt + c \int_{+\varphi/\omega}^{T/2} \ell^{-\alpha t} \cos \omega t dt, \tag{22}$$

где a, b, c — соответственно коэффициенты при интегралах в (21),

$$I_{cp13} = a \int_{+\varphi/\omega}^{T/2} \ell^{-\delta t} dt = -\frac{a}{\delta} \ell^{-\delta t} \Big|_{+\varphi/\omega}^{T/2} = \frac{a}{\delta} (\ell^{-\varphi \delta / \omega} - \ell^{-\delta T / 2}). \tag{23}$$

В (22) второй и третий интегралы вычислим методом по частям [8]. В результате получаем

$$b \int_{+\varphi/\omega}^{T/2} \ell^{-\delta t} \sin \omega t dt = \frac{b\omega}{\alpha^2 + \omega^2} \left[\ell^{-\alpha \pi / \omega} - \ell^{-\alpha \varphi / \omega} \left(\cos \frac{\varphi}{\omega} - \frac{\alpha}{\omega^2} \sin \frac{\varphi}{\omega} \right) \right], \tag{24}$$

$$c \int_{+\varphi/\omega}^{T/2} \ell^{-\delta \alpha t} \cos \omega t dt = \frac{c\omega}{\omega^2 + \alpha^2} \left[\ell^{-\alpha \varphi / \omega} \sin \frac{\varphi}{\omega} + \alpha \left(\ell^{-\alpha \pi / \omega} + \ell^{-\alpha \varphi / \omega} \cos \frac{\varphi}{\omega} \right) \right]. \tag{25}$$

Таким образом, $I_{\text{ср13}}$, выраженное через (23) с учетом (23)–(25), запишем в виде

$$\begin{aligned}
 -I_{\text{ср13}} &= \frac{a}{\delta}(\ell^{-\varphi\delta/\omega} + \ell^{-\delta\pi/\omega}) + \frac{b\omega}{\alpha^2 + \omega^2} \left\{ \ell^{-\alpha\pi/\omega} + \ell^{-\alpha\varphi/\omega} \left(\cos \frac{\varphi}{\omega} + \frac{\alpha}{\omega^2} \sin \frac{\varphi}{\omega} \right) + \right. \\
 &+ \frac{c\omega}{\alpha^2 + \omega^2} \left[-\ell^{-\alpha\varphi/\omega} \sin \frac{\varphi}{\omega} + \alpha \left(\ell^{-\alpha\pi/\omega} + \ell^{-\alpha\varphi/\omega} \cos \frac{\varphi}{\omega} \right) \right] = \\
 &= \frac{a}{\delta}(\ell^{-\varphi\delta/\omega} + \ell^{-\delta\pi/\omega}) + \frac{\omega\ell^{-\alpha\pi/\omega}}{\alpha^2 + \omega^2} (b + c\alpha) + \frac{\omega}{\alpha^2 + \omega^2} \ell^{-\alpha\varphi/\omega} (b + c\alpha) - \\
 &\quad \left. - \frac{\omega}{\alpha^2 + \omega^2} \ell^{-\alpha\varphi/\omega} \left(\sin \frac{\varphi}{\omega} \right) (c - b\alpha) \right\}. \tag{26}
 \end{aligned}$$

$$\begin{aligned}
 I_{\text{ср14}} &= -\frac{2U_m\omega \cos \varphi}{TL} \frac{1}{[(\alpha - \delta)^2 + \omega^2]} \int_{+\varphi/\omega}^{T/2} \left\{ \ell^{-\delta t} + \frac{\ell^{-\alpha t}}{\omega} [-\omega \cos \omega t + (\delta - \alpha) \sin \omega t] dt \right\} = \\
 &= -\frac{2U_m\omega \cos \varphi}{TL} \frac{1}{[(\alpha - \delta)^2 + \omega^2]} \int_{+\varphi/\omega}^{T/2} \ell^{-\delta t} dt + \frac{2U_m\omega \cos \varphi}{TL} \frac{1}{[(\alpha - \delta)^2 + \omega^2]} \times \\
 &\quad \times \int_{+\varphi/\omega}^{T/2} \ell^{-\alpha t} \cos \omega t dt - \frac{2U_m \cos \varphi (\delta - \alpha)}{T\alpha[(\alpha - \delta)^2 + \omega^2]} \int_{+\varphi/\omega}^{T/2} \ell^{-\alpha t} \sin \omega t dt = \\
 &= d \int_{+\varphi\omega}^{T/2} \ell^{-\delta t} dt + g \int_{+\varphi\omega}^{T/2} \ell^{-\alpha t} \cos \omega t dt + f \int_{+\varphi\omega}^{T/2} \ell^{-\alpha t} \sin \omega t dt, \tag{27}
 \end{aligned}$$

где d, g, f — соответственно коэффициенты при интегралах (27). Эти интегралы равны интегралам в (23), (24), (25). При этом в (27) вместо a из (23) необходимо подставить d , вместо b из (25) — g и вместо c из (25) — f . Тогда

$$\begin{aligned}
 I_{\text{ср14}} &= \frac{d}{\delta}(\ell^{-\delta\varphi/\omega} - \ell^{-\delta\pi/\omega}) + \frac{\varphi\omega}{\alpha^2 + \omega^2} \left[\ell^{-\alpha\pi/\omega} + \ell^{-\alpha\varphi/\omega} \left(\cos \frac{\varphi}{\omega} + \frac{\alpha}{\omega^2} \sin \frac{\varphi}{\omega} \right) \right] + \\
 &+ \frac{f\omega}{\alpha^2 + \omega^2} \left[-\ell^{-\alpha\varphi/\omega} \sin \frac{\varphi}{\omega} + \alpha \left(\ell^{-\alpha\pi/\omega} + \ell^{-\alpha\varphi/\omega} \cos \frac{\varphi}{\omega} \right) \right]. \tag{28}
 \end{aligned}$$

Далее найдем среднее значение суммы затухающих токов $i_k(t)$, $k = \overline{2, n}$. Пределы интегрирования возьмем $0 \div T_k/2$. Тогда

$$\begin{aligned}
 I_{\text{срk}} &= \frac{2|U_m|}{m_k T_k L} \int_0^{m_k T_k/2} U_{mk} \omega_k \left\{ \ell^{-\delta t} + \frac{\ell^{-\alpha t}}{\omega_k} [(\delta - \alpha) \sin \omega_k t - \omega_k \cos \omega_k t] \right\} = \\
 &= \frac{2|U_m| U_{mk} \omega_k}{m_k T_k L [(\alpha - \delta)^2 + \omega_k^2]} \int_0^{m_k T_k/2} \ell^{-\delta t} dt + \frac{2|U_m| U_{mk} (\delta - \alpha)}{m_k T_k L [(\alpha - \delta)^2 + \omega_k^2]} \int_0^{m_k T_k/2} \ell^{-\alpha t} \sin \omega_k t dt -
 \end{aligned}$$

$$\begin{aligned}
& - \frac{2|U_m|U_{m_k}\omega_k}{m_k T_k L[(\alpha - \delta)^2 + \omega_k^2]} \int_0^{m_k T_k/2} \ell^{-\alpha t} \cos \omega_k t dt = \\
& = h \int_0^{m_k T_k/2} \ell^{-\delta t} dt + n \int_0^{m_k T_k/2} \ell^{-\alpha t} \sin \omega_k t dt + r \int_0^{m_k T_k/2} \ell^{-\alpha t} \cos \omega_k t dt, \quad m_k = \frac{T}{T_k}, \quad (29)
\end{aligned}$$

где h, n, r — соответственно коэффициенты при интегралах в (29),

$$h \int_0^{m_k T_k/2} \ell^{-\delta t} dt = \frac{h}{\delta} (1 - \ell^{-\delta \pi / \omega_k}), \quad (30)$$

$$n \int_0^{m_k T_k/2} \ell^{-\alpha t} \sin \omega_k t dt = \frac{n \omega_k}{(\alpha^2 + \omega_k^2)} (1 + \ell^{-\alpha \pi m_k / \omega_k}), \quad (31)$$

$$r \int_0^{m_k T_k/2} \ell^{-\alpha t} \cos \omega_k t dt = \frac{r \alpha}{(\alpha^2 + \omega_k^2)} (1 + \ell^{-\alpha \pi m_k / \omega_k}). \quad (32)$$

Итак,

$$\begin{aligned}
I_{\text{ср}k} &= \sum_{k=2}^n (30) + (31) + (32) = \\
&= \sum_{k=2}^n \frac{h}{\delta} (1 - \ell^{-\delta \pi m_k / \omega_k}) + (n \omega_k + r \alpha) \frac{1}{\alpha^2 + \omega_k^2} (1 + \ell^{-\alpha \pi m_k / \omega_k}), \quad (33)
\end{aligned}$$

а среднее значение $\sum_{k=2}^n I_{\text{ср}k}$ с учетом (30)–(33) определяется так:

$$\sum_{k=2}^n I_{\text{ср}k} = \sum_{k=2}^n \frac{h}{\delta} (1 - \ell^{-\delta \pi m_k / \omega_k}) + (n \omega_k + r \alpha) \frac{1}{\alpha^2 + \omega_k^2} (1 + \ell^{-\alpha \pi m_k / \omega_k}). \quad (34)$$

Таким образом, в результате проведенного исследования получена формула среднего значения тока в электроцепи с управляемыми диодами и с индуктивной нагрузкой. Для краткости запишем эту формулу в виде

$$I_{\text{ср}} = I_{\text{ср}0} + \sum_{l=1}^4 I_{\text{ср}l} + \sum_{k=2}^n I_{\text{ср}k} = (18) + (19) + (20) + (26) + (28) + (34). \quad (35)$$

Формула (35), несмотря на свою громоздкость, более точно отражает процессы, происходящие в электроцепи. Заметим, что при каждом импульсе напряжения на индуктивной нагрузке ток $i(t)$ в начальном участке изменяется медленно из-за наличия гармоник $i_k(t)$, $k = \overline{2, n}$, обуславливающих эффект автоматической реструктуризации цепи [9]. В связи

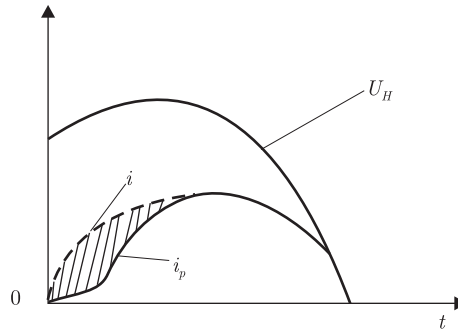


Рис. 3

с затуханием этих гармоник в каждом переходном процессе I_{cp} цепи уменьшается по сравнению с (1). Пояснением к этому может быть график переходных процессов, изображенных на рис. 3, где U_H — импульс напряжения на индуктивной нагрузке; i — ток в цепи, рассчитанный обычным методом [4, 7]; i_p — ток, рассчитанный с учетом сингулярного разложения (3) напряжения U_H .

Как видно из рис. 3, ток $i(t)$ нарастает в начальном участке быстрее тока $i_p(t)$. В последнем, как было отмечено, из-за наличия гармоник $|U_m|e^{-\alpha t} \sin \varphi \sum_{k=2}^n U_{mk} \sin \omega_k t$ в напряжении $U_H(t)$ при использовании разложения (3) и автоматической реструктуризации RL цепи [9] происходит медленное нарастание тока i_p . Разница между $i(t)$ и $i_p(t)$ обозначена на рис. 3 заштрихованным участком. Эта разница обуславливает уменьшение $I_{cp}(t, i_p)$ по сравнению с $I_{cp}(t, i)$, что необходимо учитывать в расчетах на практике.

1. Брухман С. С., Трофимов Н. А. Тиристорные переключатели переменного тока. — Москва: Энергия, 1969. — 64 с.
2. Евсеев Ю. А., Крылов С. С. Симисторы и их применение в бытовой электроаппаратуре. — Москва: Энергоатомиздат, 1999. — 120 с.
3. Энергетическая электроника: Справочное пособие / Под ред. В. А. Лабунцова. — Москва: Энергоатомиздат, 1987. — 461 с.
4. Бессонов Л. А. Теоретические основы электротехники. — Москва: Высш. шк., 1978. — 528 с.
5. Божко А. Е. Новая интерпретация переходных процессов в электрических цепях // Доп. НАН Украины. — 2004. — № 9. — С. 83–87.
6. Божко А. Е. О новой трактовке переходных процессов в электрических цепях переменного тока // Там само. — 2005. — № 4. — С. 81–86.
7. Гинзбург С. Г. Методы решения задач по переходным процессам в электрических цепях. — Москва: Сов. радио, 1959. — 404 с.
8. Бронштейн И. Н., Семендяев К. А. Справочник по математике. — Москва: ГИТТЛ, 1956. — 608 с.
9. Божко А. Е. Об автоматической реструктуризации электрических цепей с реактивными элементами при полигармонических входных сигналах // Доп. НАН Украины. — 2002. — № 11. — С. 101–103.

Институт проблем машиностроения
им. А. Н. Подгорного НАН Украины, Харьков

Поступило в редакцию 20.07.2007